

ЭЛЕКТРОННАЯ ТЕПЛОПРОВОДНОСТЬ И ДИФФУЗИЯ В ТОКАМАКЕ

В.Г.Мережкин, В.С.Мухометов

Обсуждается зависимость электронной теплопроводности в токамаке от тороидального отношения r/R и большого радиуса R .

Показано, что измеренные на разных установках энергетические времена жизни электронов согласуются с зависимостью $\tau_{Ee} \sim R^3$. Показано также, что экспериментальные данные не противоречат зависимости $D \approx k X_e$, где $k \approx 0,1$.

Анализ энергобаланса электронов, выполненный в ряде экспериментов на токамаках [1, 2], указывал, что коэффициент электронной температуропроводности X_e сильно нарастает по радиусу плазменного шнуря, в то время как произведение $X_e n_e$, где n_e — плотность электронов, слабо меняется по радиусу и в разных установках имеет примерно одно и то же значение $\sim 5 \cdot 10^{17} \text{ см}^{-1} \cdot \text{сек}^{-1}$ [3]. Эти данные, казалось бы, исключали сильную зависимость X_e от какого-либо параметра кроме n_e и находились в согласии с "алкаторным" законом подобия для энергетического времени жизни электронов $\tau_{Ee} \sim n_e a^2$ [4] (a — малый радиус шнуря).

Недавние эксперименты на установке Т-11 [5, 6] показали, однако, что величина τ_{Ee} слабо зависит от a ($\tau_{Ee} \sim a^\alpha$, где $\alpha \approx 0,2 - 0,5$) и произведение $X_e n_e$ удовлетворяет зависимости $X_e n_e \sim q^{-1} R_e^{0,5} r^{1,75}$ ($q = r B_o / RB_\omega$, B_ω — магнитное поле тока на радиусе r , B_o — тороидальное магнитное поле, R — большой радиус тора, T_e — температура электронов). Используя эти данные, а также экспериментальные указания на то, что в режиме омического нагрева степень аномальности электронной теплопроводности $\langle X_e \rangle / \langle X_e^{NEO} \rangle \approx \text{const}$ при $\langle v_e^* \rangle \approx \text{const}$, можно получить следующие выражения для X_e и τ_{Ee} :

$$X_e \approx 10^{20} \frac{\sqrt{T_e}}{n_e q R} \left(\frac{r}{R} \right)^{7/4}, \quad (1)$$

$$\tau_{Ee} \approx 3,5 \cdot 10^{-21} \left(\frac{a}{R} \right)^{1/4} q(a) \frac{\bar{n}_e R^3}{\sqrt{\langle T_e \rangle}}. \quad (2)$$

Здесь X_e^{NEO} — неоклассический коэффициент температуропроводности электронов в области редких соударений, $\langle v_e^* \rangle = (R/a)^{3/2} q R / \langle \lambda_e \rangle$, λ_e — длина свободного пробега электронов, угловые скобки обозначают усреднение по сечению шнуря. Численные коэффициенты в формулах (1), (2) выбраны из условия наилучшего совпадения с результатами измерений на установке Т-11, T_e выражено в эВ, R — в см, \bar{n}_e — средняя по диаметру шнуря плотность электронов в см^{-3} .

Сильная зависимость X_e от тороидального отношения r/R и радиуса R , даваемая формулой (1) и приводящая к зависимости $\tau_{Ee} \sim R^3$, не противоречит данным, полученным на других установках. Как видно из табл.1, зависимость (2) может объяснить заметную разницу в величинах τ_{Ee} , полученных на установках T-11 и T-10 при близких значениях a , \bar{n}_e и $q(a)$.

Таблица 1

Сопоставление измеренных и рассчитанных по формуле (2) значений τ_{Ee}

| Установка | R см | a см | $q(a)$ | \bar{n}_e (10^{13} см^{-3}) | $\langle T_e \rangle$ эВ | Z_{eff} | τ_{Ee}^{exp} мсек | τ_{Ee}^{calc} мсек |
|-----------|-----------|-----------|--------|--|-----------------------------|-----------|---------------------------|----------------------------|
| T-11 [6] | 70 | 12,5 | 2,5 | 1,5 | 150 | ~1 | 2,4 | 2,4 |
| T-11 [6] | 70 | 20 | 2,5 | 1,5 | 160 | ~1 | 2,8 | 2,7 |
| T-10 [7] | 150 | 24,5 | 2 | 2 | 460 | 4 | 12 | 14 |
| PDX [8] | 150 | 38 | 3,1 | 1,5 | 320 | ~1 | 23 | 22 |

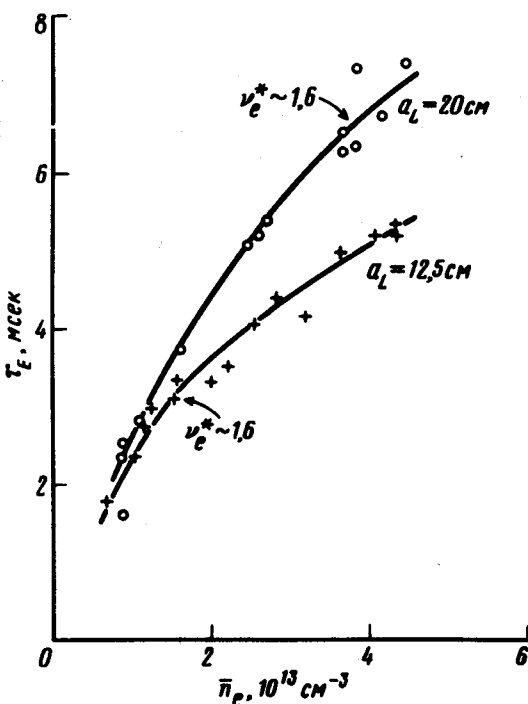


Рис.1. Зависимости τ_E от \bar{n}_e при двух радиусах плазменного шнура в T-11. $B_o = 9,4 \text{ кГс}$; $q(a) \approx 2,5$; $a = a_L$ — радиус ограничительной диафрагмы

Приведенные в табл.1 данные были получены в режимах с низкой плотностью плазмы, в которых потери энергии определялись электронной теплопроводностью и величина параметра столкновительности электронов ν_e^* на середине радиуса шнуря была $\lesssim 1$.

В экспериментах на установке Т-11 мы попытались определить вклад электронной теплопроводности и интегральные потери энергии при умеренной и высокой плотности плазмы и значениях $\nu_e^* > 1$. С этой целью мы измерили величины интегрального энергетического времени жизни плазмы τ_E в широком диапазоне \bar{n}_e при двух значениях радиуса шнура $a = 20$ см и $a = 12,5$ см. Исследовалась водородная плазма с низким содержанием примесей (эффективный ионный заряд $Z_{eff} \approx 1$, отношение мощности радиационных потерь и потерь за счет перезарядки к мощности омического нагрева P_{rad} / P_{oh} не превышало 0,15 как при низкой так и при высокой плотности плазмы). Величина тепловой энергии плазменного шнуря определялась из измерений диамагнитного эффекта плазмы.

Результаты измерений представлены на рис.1. Видно, что при низких значениях $\bar{n}_e \lesssim 1,5 \cdot 10^{13}$ см⁻³ полученные зависимости τ_E от \bar{n}_e близки к линейным. При повышении \bar{n}_e обе зависимости заметно отклоняются от линейных, причем в случае $a = 12,5$ см отклонение от линейного закона $\tau_E \sim \bar{n}_e$ оказывается более сильным (в этом случае экспериментальная кривая аппроксимируется зависимостью $\tau_E \sim \sqrt{\bar{n}_e}$). Указанные особенности в поведении τ_E удается объяснить усилением роли ионной теплопроводности в энергобалансе плазмы при повышении \bar{n}_e и ν_e^* , предполагая, что и при высокой плотности плазмы энергетическое время жизни электронов следует зависимости (2). Это иллюстрирует табл.2, в которой производится сопоставление измеренных значений τ_E с расчетными величинами τ_{Ee} и τ_{Ei}^{NEO} для двух значений радиуса шнура при $\bar{n}_e \approx 4 \cdot 10^{13}$ см⁻³. Там же приведены расчетные доли электронных P_e / P_{oh} и ионных P_i^{NEO} / P_{oh} потерь энергии. При вычислениях энергетического времени жизни ионов τ_{Ei}^{NEO} и отношения P_i^{NEO} / P_{oh} мы использовали аппроксимационную формулу для неоклассического коэффициента ионной температуропроводности, предложенную П.Н.Юшмановым, $X_i^{NEO} = X_i^{PS} + X_i^{PL} / (1 + X_i^{PL} / X_i^B)$ (X_i^{PS} – коэффициент Пифра – Шлютера – Шафранова; X_i^{PL} и X_i^B – коэффициенты Галеева – Сагдеева для области промежуточных и редких соударений соответственно). Если при $a = 20$ см, когда $\nu_e^* \sim 1,7$, потери за счет неоклассической ионной теплопроводности составляют $\sim 30\%$ полных потерь энергии, то в случае $a = 12,5$ см, когда $\nu_e^* \sim 8$, неоклассические ионные потери становятся доминирующими. При этом, как видно из табл.2, оставшиеся потери энергии оказываются близкими к потерям за счет электронной теплопроводности, рассчитанным в соответствии с формулой (2).

Таблица 2

| a см | $\langle T_e \rangle$ эВ | $\langle T_i \rangle$ эВ | τ_E мсек | τ_{Ei}^{NEO} мсек | τ_{Ee} мсек | P_i^{NEO} / P_{oh} | P_e / P_{oh} |
|-----------|-----------------------------|-----------------------------|------------------|---------------------------|---------------------|----------------------|----------------|
| 20 | 125 | 105 | 6,8 | 11 | 7,8 | 0,3 | 0,46 |
| 12,5 | 100 | 85 | 5,0 | 3,8 | 7,8 | 0,6 | 0,32 |

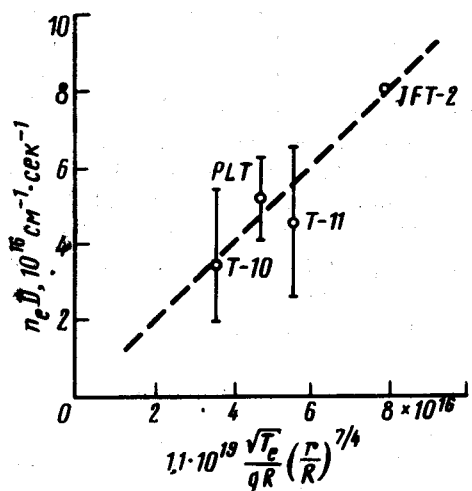


Рис.2. Величины Dn_e , измеренные на установках T-10 [7], JFT-2 [9], PLT [10] и T-11, в функции произведения $0,11 X_e n_e$

Таким образом, мы можем заключить, что формулы (1), (2) пригодны для описания электронных потерь энергии в широком диапазоне \bar{n}_e и $\nu_e^* \approx 0,2 - 8$.

Выше мы не учитывали потери энергии за счет диффузии плазмы. При рассмотрении энергобаланса электронов это, по-видимому, оправдано, так как коэффициент диффузии D примерно на порядок ниже чем X_e (рис.2). Если тенденция $D \approx 0,1 X_e$, которая видна на рис.2, подтверждается в дальнейших экспериментах, то потери заряженных частиц должны заметно влиять на энергобаланс ионов в области $\nu_e^* \lesssim 1$ в режимах омического нагрева и в области $\nu_e^* \lesssim 0,1$ в условиях мощного ($P_{ADD} \sim 10 P_{OH}$) дополнительного нагрева плазмы.

Поступила в редакцию
30 марта 1981 г.

Литература

- [1] L.A.Berry, C.E.Bush, et. al. In Plasma Phys. and Contr. Nucl. Fus. Res. (Proc. 6-th Int. Conf., Berchtesgaden, 1976) v.1, IAEA, Vienna, 1977, p.49.
- [2] M.H.Hughes, J.Hugill. In Plasma Phys. and Contr. Nucl. Fus. Res. (Proc. 7-th Int. Conf., Innsbruck, 1978) v.1, IAEA, Vienna, 1979, p.457.
- [3] D.E.Post, R.J.Goldston, et. al. Ibid., p.471.
- [4] D.L.Jassby, D.R.Cohn, R.R.Parker, Nucl. Fusion, 16, 1045, 1976.
- [5] V.S.Vlasenkov, V.M.Leonov, et. al. In Plasma Phys. and Contr. Nucl. Fusion Res. (Proc. 7-th Int. Conf., Innsbruck, 1978) v.1, IAEA, Vienna, 1979, p.211.
- [6] V.M.Leonov, V.G.Merezkin, et. al. In Plasma Phys. and Contr. Nucl. Fusion Res. (Proc. 8-th Int. Conf., Brussels, 1980) Paper IAEA-CN-38/N-2.
- [7] A.B.Berlizov, V.I.Bugarya, et. al. Ibid., IAEA-CN-38/A-2.

- [8] D.Meade, V.Arunasalam. et. al. Ibid., IAEA-CN-38/X-1.
 - [9] V.Shimomura, N.Suzuki. et. al. Ibid., Post-dead-line Paper.
 - [10] R.Goldstone, S.Davis, et. al. In Proc. of 2-nd Joint Grenoble-Varenna Int. Symp. on Heating in Toroidal Plasmas.
-